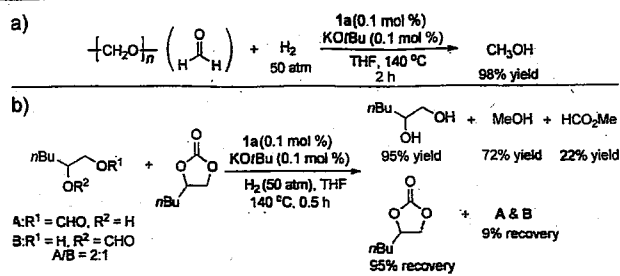
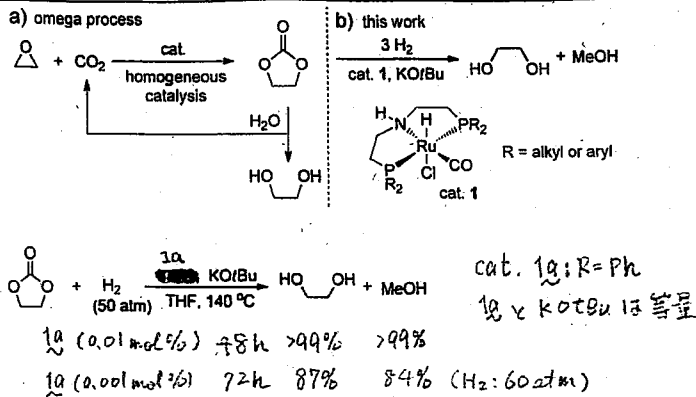
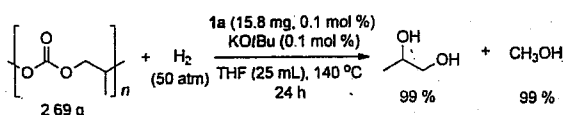
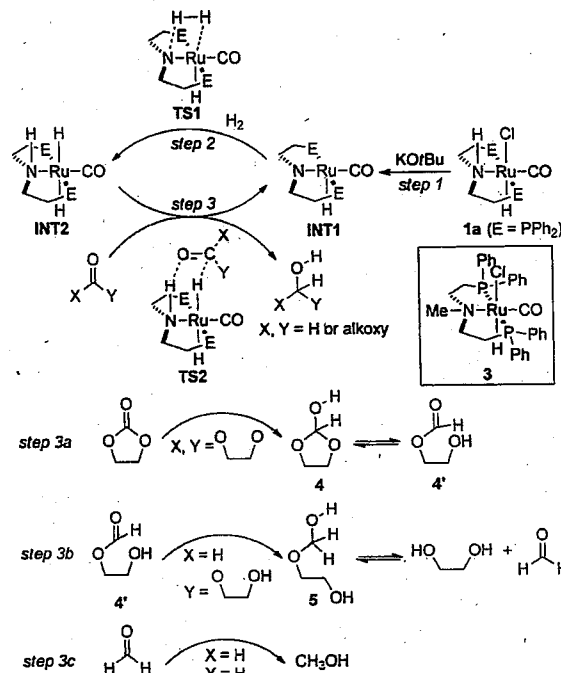
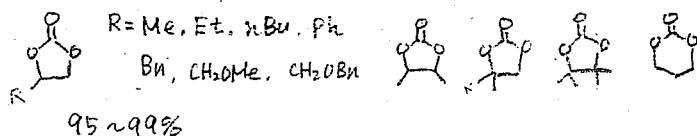


Catalytic Hydrogenation of Cyclic Carbonates: A Practical Approach from CO₂ and Epoxides to Methanol and Diols



Scope



Qichun Zhang

Nanyang Technological University, Singapore

J. Am. Chem. Soc. ASAP (doi: 10.1021/ja310131kl)

Youhei Takeda

Synthesis and Physical Properties of Four Hexazapentacene Derivatives

aza acenes: candidates for n-type organic materials

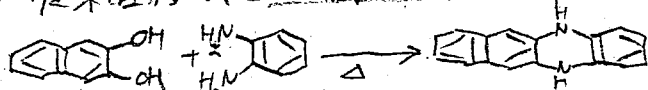


EA 3.27 eV

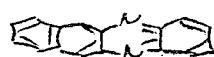
3 < EA < 4 eV

JACS 2007, 129, 1805.

合成法 (Pure Appl. Chem. 2010, 953.)



eg. K₂C₂O₆, chloranil, PbO₂



HOMO LUMO

对应 HOMO LUMO

对应 HOMO LUMO

对应 HOMO LUMO

对应 HOMO LUMO

对应 HOMO LUMO

对应 HOMO LUMO

对应 HOMO LUMO

对应 HOMO LUMO

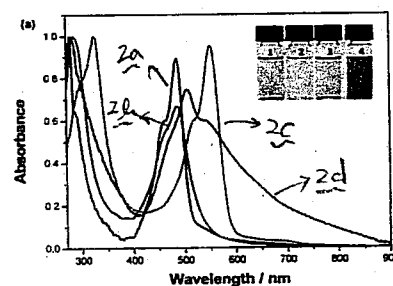
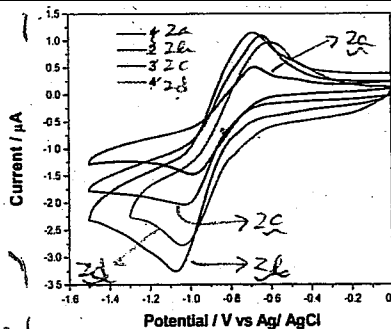
对应 HOMO LUMO

对应 HOMO LUMO

对应 HOMO LUMO

对应 HOMO LUMO

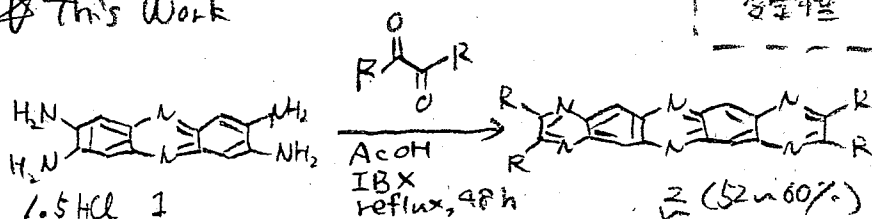
对应 HOMO LUMO



UV absorption spectra in DMF

Compd	HOMO/eV	LUMO/eV	ΔE/eV
2a	-6.12	-3.57	2.55
2b	-6.08	-3.53	2.55
2c	-6.03	-3.58	2.45
2d	-5.84	-3.59	2.25

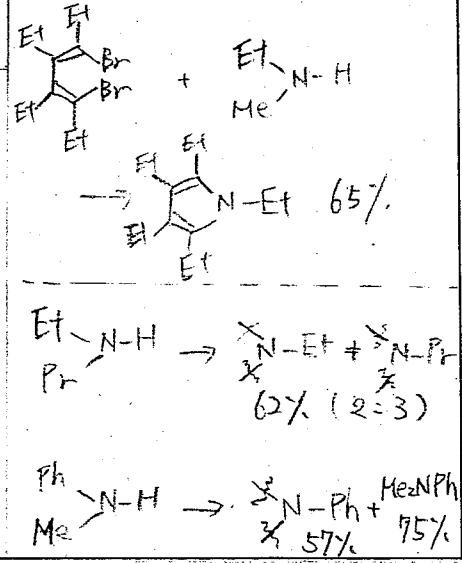
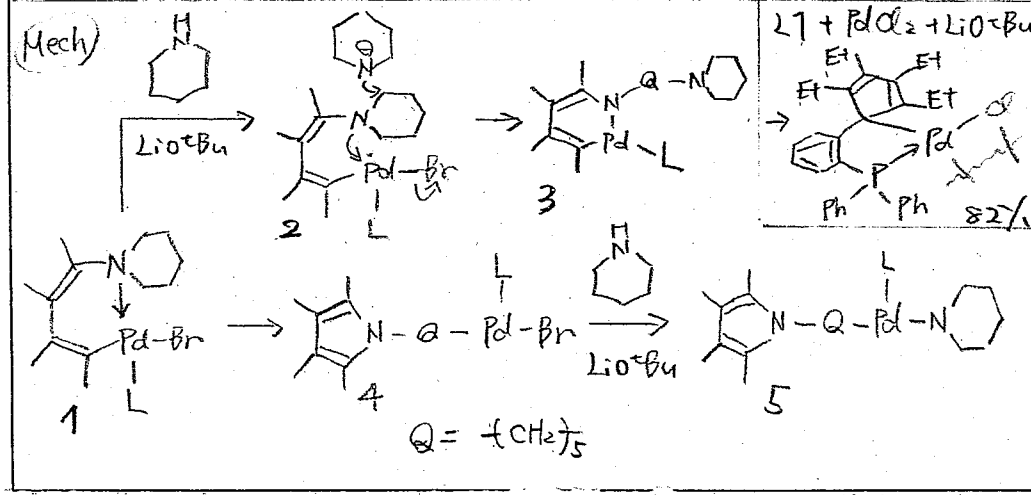
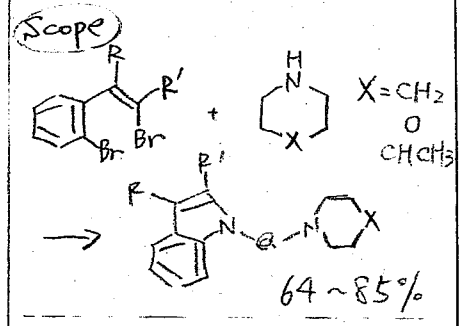
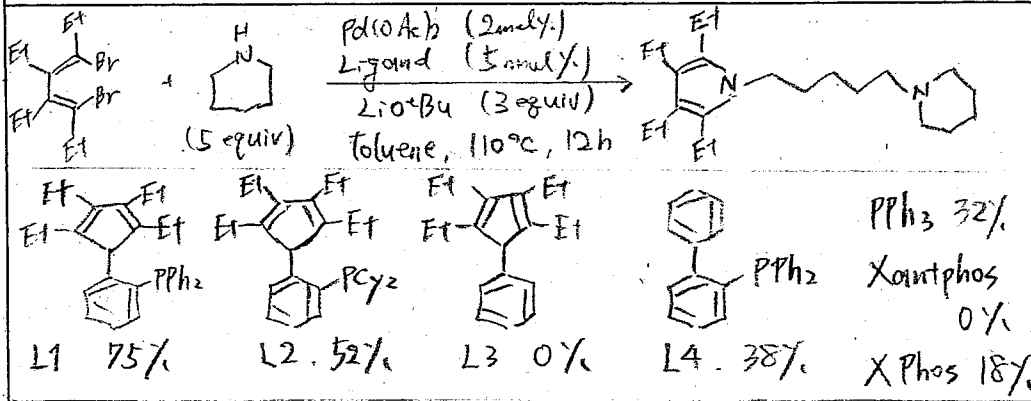
This Work



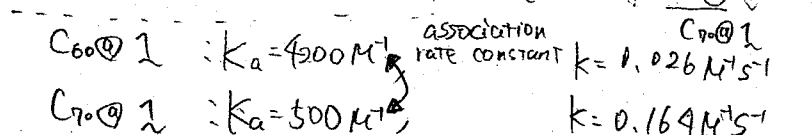
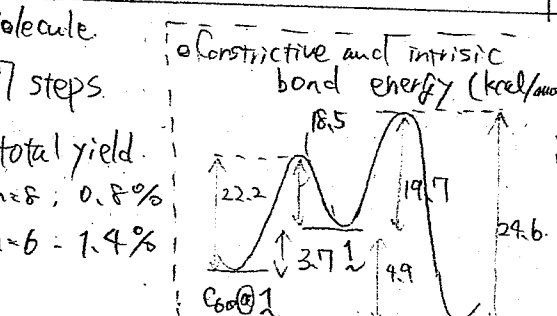
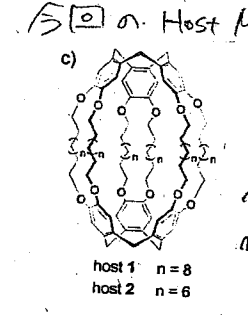
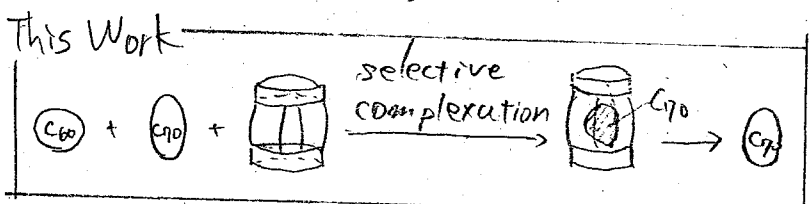
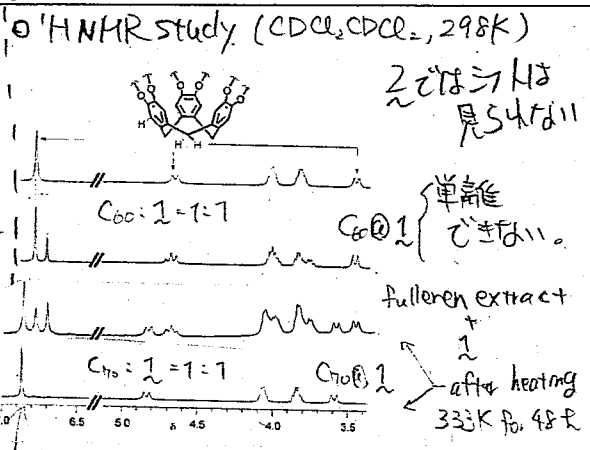
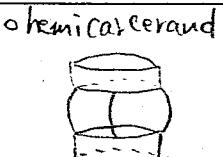
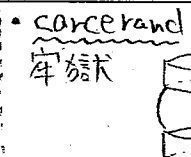
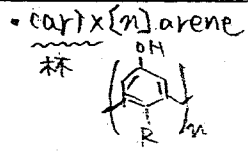
of.

pentacene	-5.14	-3.37	1.77
hexacene	-4.96	-3.56	1.57

Cyclopentadiene-Phosphine/Palladium-Catalyzed Cleavage of C-N Bonds in Secondary Amines: Synthesis of Pyrrole and Indole Derivatives from Secondary Amines and Alkenyl or Aryl Dibromides



Hemiacarcerand Formation With a Cyclotrimeratrylene-Based Molecular Cage Allows Isolation of High-Purity (>99.0%) C₇₀ Directly from Fullerene Extract



selective separation of C₇₀ from fullerene extract

1 + fullerene extract (300mg) ↓ in toluene at 303K, 12h

C₆₀:C₇₀ = others

68:25:7

↓ in CH₂Cl₂

↓ centrifuge

↓ CH₂Cl₂ at 313K, 16h

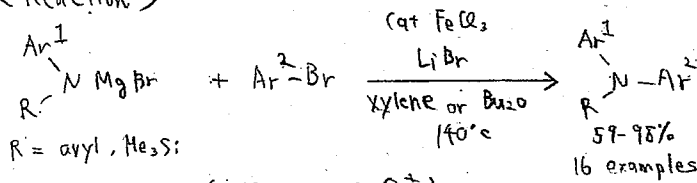
↓ centrifuge

↓ pure C₇₀ (6.5mg) (purity 99.0%)

不純物に C₇₀@1 が含まれていないことを確認するために higher fullerene を用いて抽出を試みましたが抽出できず可能性を失った!!

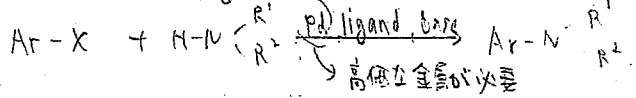
Iron-Catalyzed Aromatic Amination for Nonsymmetrical Triarylamine Synthesis

< Reaction >

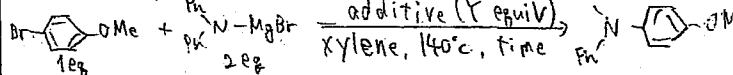


< Previous work > (Miyahara's synthesis)

P-uchwald-Hartwig Reaction



< Optimization >



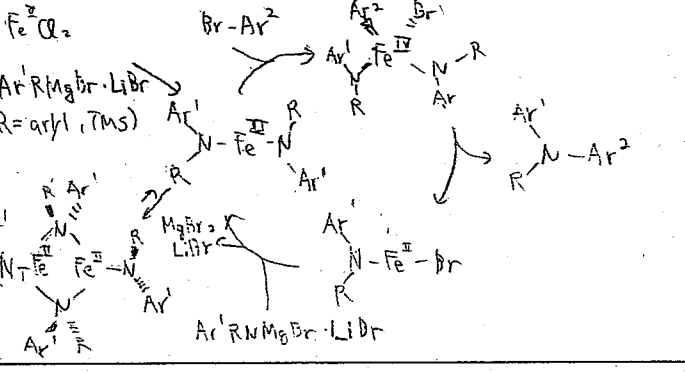
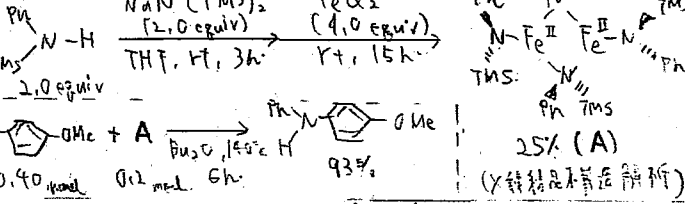
entry	catalyst (X mol%)	additive (Y equiv)	time (h)	yield (%)	recovery (cal. or exp.)
1	FeCl ₂ (5)	none	24	10	89
2	FeCl ₂ (5)	LiBr (0.2)	24	26	87
3	FeCl ₂ (5)	LiBr (2.0)	12	51	81
4	FeCl ₂ (5)	LiBr (4.0)	12	>99	0
5	FeCl ₂ (0.5)	LiBr (4.0)	48	99	0

* FeCl₂ 1.0 mol% 以下は、Pd/Cu/Co/Ni 6 種類を試したが、PdCl₂, CuCl₂, CoCl₂ (0.5 mol%) は反応が進行せず、NiCl₂ (0.5 mol%) は 2-12 86% の収率で、目的の P-N 結合が得られた。FeCl₂ は 0.5 mol% の 2-12 99% の収率で、目的の P-N 結合が得られた。NiCl₂ は 0.5 mol% の 2-12 86% の収率で、目的の P-N 結合が得られた。

< Scope >

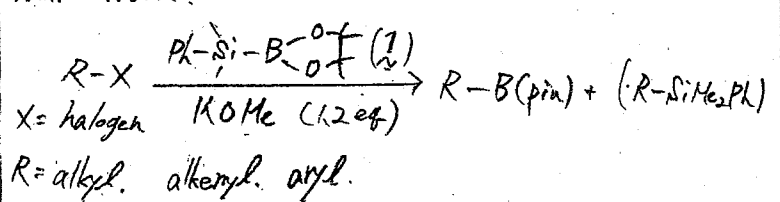
Ar² ... 4種以上、C-リジンも可能
I 入り、4種、2-トリル 新法が存在する。目的は、同様に進行せし、複雑な混合物を与える。

< Mechanism >

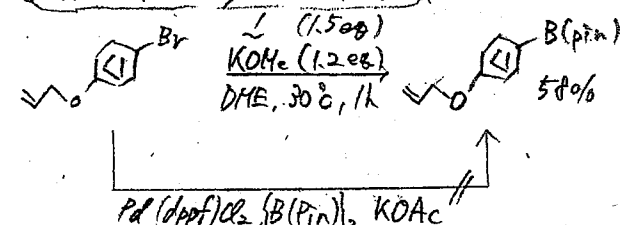


Anomalous Reactivity of Silylborane: Transition-Metal-Free Boryl Substitution of Aryl, Alkenyl, and Alkyl Halides with silylborane/Alkoxy Base Systems

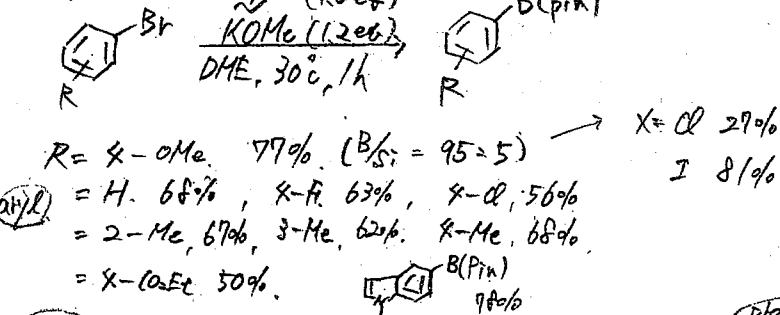
This Work



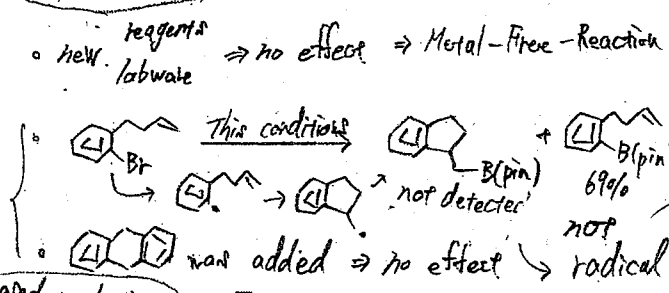
Chemoselective Boryl Substitution



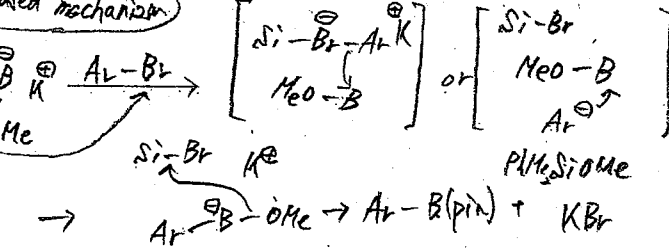
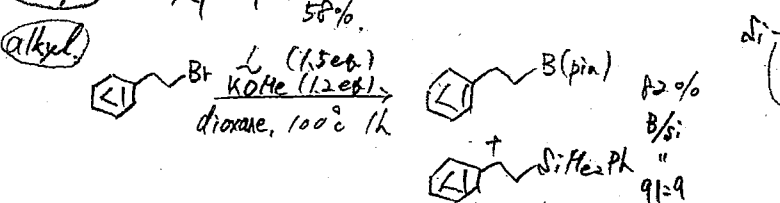
Scope



Mechanistic Study



Alkenyl

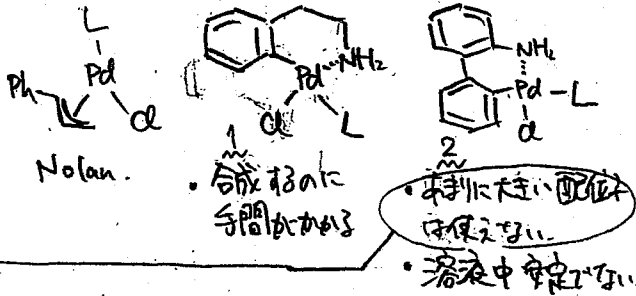


Design and preparation of new palladium precatalysts for C-C and C-N cross-coupling reactions

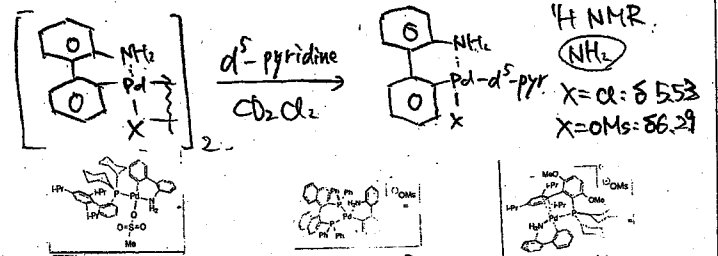
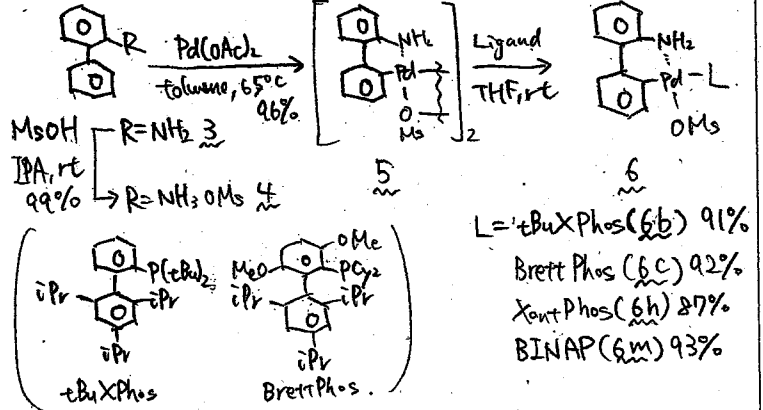
Pd sources

$Pd_2(dba)_3$: Pd nanoparticles & free dba 含入.
dba 配位 反応に 影響し得る。
 $Pd(OAc)_2, PdCl_2$: Pd(0) に還元 する必要あり。

⇒ 解決法: Pre-ligated Pd(II) sources
(air and moisture stable)

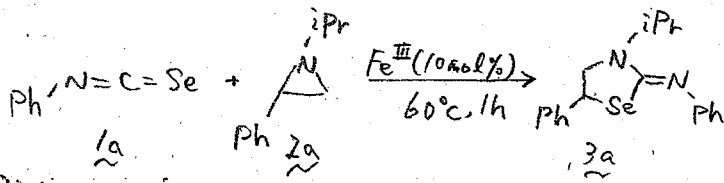


⇒ a Cl⁻ (電子求引性の配位子) が必要。
non-coordinating anion
OMs (O-SO₂-Me) が最適。



• Suzuki-Miyaura coupling (6a)
• α-arylation of tert-butyl acetate (6b)
• Buchwald-Hartwig amination (6c/BrettPhos, 6e/SPhos)
⇒ a Pd(II) source を 活用 できる

"On Water": Efficient Iron-Catalyzed Cycloaddition of Aziridines with Heterocumulenes

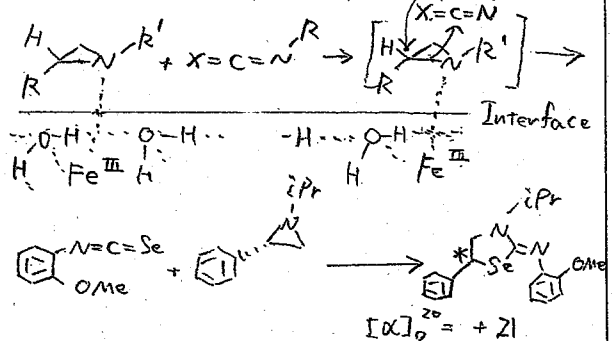


Optimization

Catalyst (Fe ^{III})	Solvent = H ₂ O	Solvent	Yield
$Fe(NO_3)_3 \cdot 9H_2O$	100%	H ₂ O	100%
$FeCl_3 \cdot 6H_2O$	87%	CH ₂ Cl ₂ (40°C)	n.d.
$Fe_2(SO_4)_3 \cdot 5H_2O$	58%	Toluene	n.d.
$Fe(acac)_3$	47%	(CH ₂ Cl ₂) ₂	n.d.
no catalyst	12%		

• aziridine + heterocumulenes
catalyst or stoichiometric reagent
Pd, Ni, HBF₄, Mg-MeOH, PBu₃, NaI.

proposed catalytic cycle



Scope

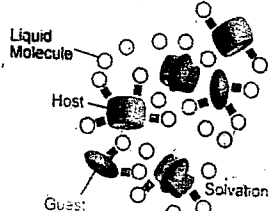
isocyanate (R-N=C=Se)	aziridine (R'-N ₂)	heterocumulene (R-N=C=X)	Yield
R = -C ₆ H ₄ X (X = -OMe (9 scale ok), -I, -NO ₂ etc)	R = H, Alkyl, Ph Bz, Boc ≠ n.d. R' = Ar	Ar-N=C=N-Ar Ph-N=C=O Ph-N=C=S	61~93% 61%~91% 65%~79%

Cyclic Host Liquids for Facile and High-Yield Synthesis of [2]Rotaxanes

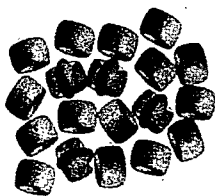
★ Liquid Host Molecules (This Work)

• Strategy

a Using Liquid Molecules

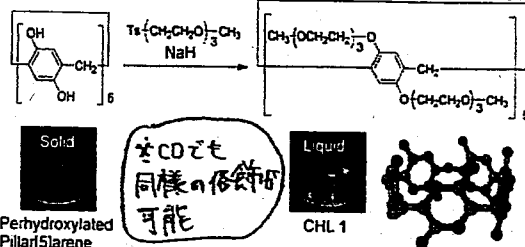


b Using CHL



従来の H-G system → 溶媒和に付、H-G の接近が妨げられる。

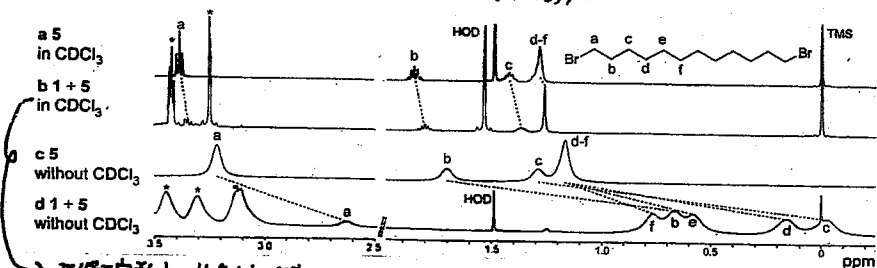
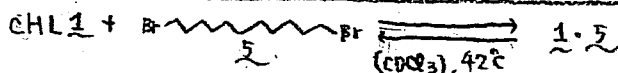
• Synthesis of CHLs (= Cyclic Host Liquids)



※ CD まで同様の合成が可能

TGA & DSC: -50°C ~ 250°C で液相を保つ
TEO 鎖が両親媒性で似た様な溶媒と混和する!
(O water, alcohols, acetone, CHCl₃, ethers, toluene, DMF, DMSO X Hexane)

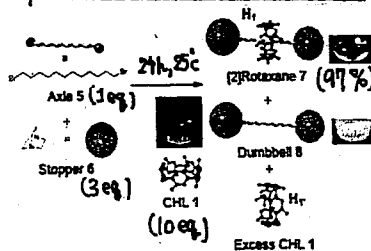
• Complexation between CHL 1 and 1,12-dibromododecane 5



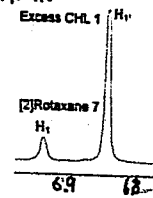
平衡定数 $k = 16.9 \pm 1.0 \text{ M}^{-1}$

Neat 条件 (c, d) である場合の方が、複合化が効率的に進行!!

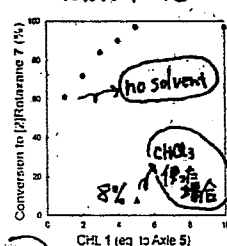
• Synthesis of [2]Rotaxane



¹H NMR



plot of Conversion to [2]



3: acetone 洗浄で除去

2: Et₂O, Hexane を用いた洗浄は 95% 以上回収可能!

小さい k であるため CHL を用いれば効率的に Rotaxane が合成可能!

John F. Hartwig et al

University of California, Berkeley

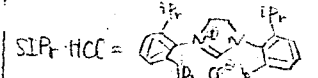
JACS

DOI: 10.1021/ja208191z

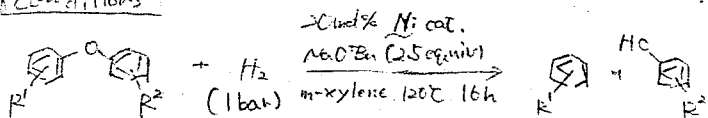
M1 根島

A Heterogeneous Nickel Catalyst for the Hydrogenolysis of Aryl Ethers without Arene Hydrogenations

① Differences of Ni catalysts

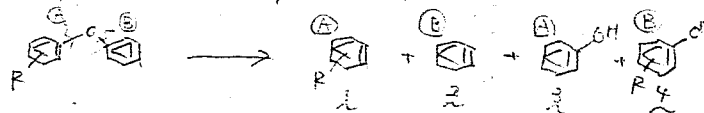


• conditions



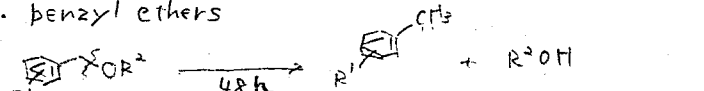
② Scope (Ni(CHBTMS)₂(TMEDA) cat)

• unsymmetrical diaryl ethers



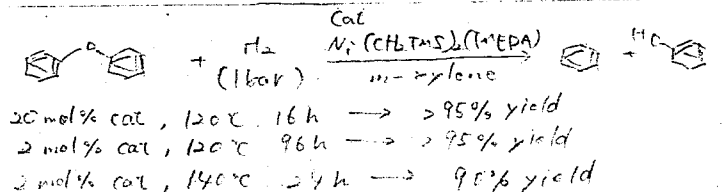
R	Ni (mol%)	time (h)	2 (%)	3 (%)	4 (%)	5 (%)
O-	10	96	22	60	19	63
m-Me	5	48	18	82	17	75
p-	5	48	13	85	11	81
p-tBu	5	48	3	90	3	90
c-	0.5	48	45	54	44	53
m-OMe	10	48	21	46	22	45
p-	10	48	15	8	18	2
O-	5	48	80	9	20	-
m-OH	10	48	75	8	75	-
p-	15	41	97	-	97	-

• benzyl ethers



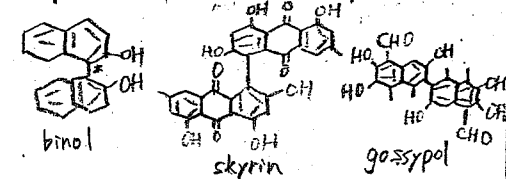
substrate	Ni (mol%)	ArCH ₃ (%)	R'OH (%)	substrate	Ni (mol%)	ArCH ₃ (%)	R'OH (%)
<chem>c1ccc(cc1)OPh</chem>	2	98	95	<chem>COc1ccc(cc1)OC(=O)c2ccc(O)c2</chem>	25	93	98
<chem>COc1ccc(cc1)OPh</chem>	2	81	87	<chem>tBuC1=CC=C(C=C1)OS(=O)(=O)C2=CC=C(C=C2)OC</chem>	20	99	-

Ni = 20 mol% (This work)	substrate	Ni = 20 mol% Ni(COD) ₂ /2 SIPr-HCl
62% (48h: 99%)	<chem>c1ccc(cc1)OC(=O)c2ccc(O)c2</chem>	99%
100%	<chem>COc1ccc(cc1)OC(=O)c2ccc(O)c2</chem>	75%
41%	<chem>c1ccc(cc1)OC(=O)c2ccc(O)c2</chem> (CF ₃)	100% (or 100%:100%)
97%	<chem>c1ccc(cc1)OC(=O)c2ccc(O)c2</chem> (H ₂)	67% (A) + 48% (B) + 5% (C)



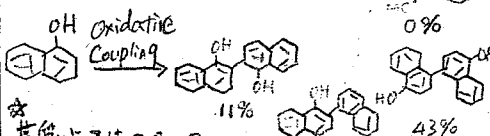
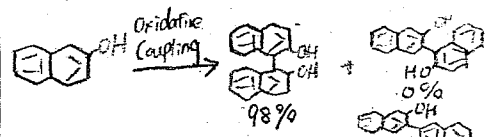
The Acetal Concept: Regioselective Access to ortho, ortho-Diphenols via Dibenzo-1,3-dioxepines

<Representative ortho,ortho-diphenols>



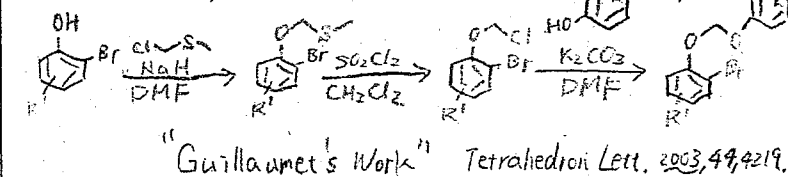
天然物、葉、不斉配位子など数多く存在する。

<Comparison of the dimerization of naphthols>

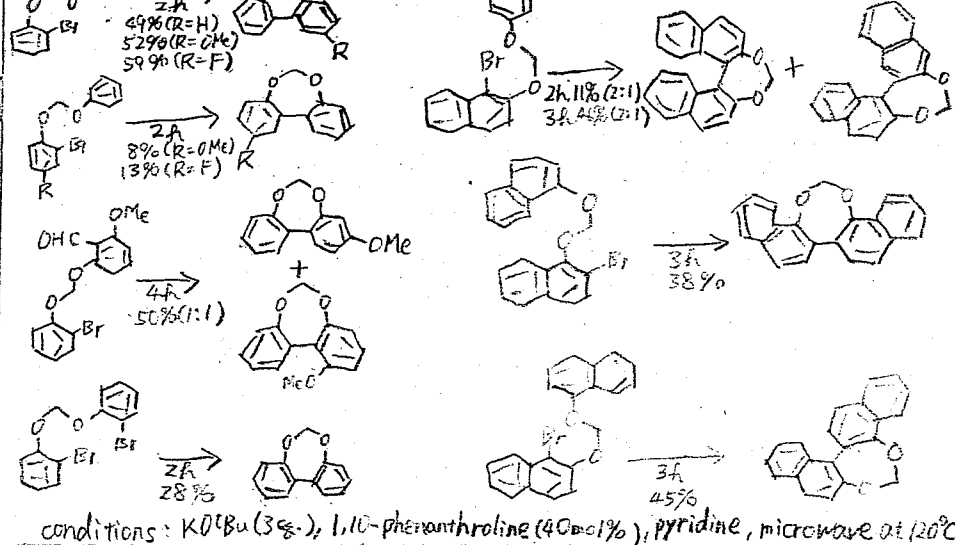


★ 基底では0,0-の
至磁性は低い。
Chem. Lett. 1993, 51.

<Acetal concept>

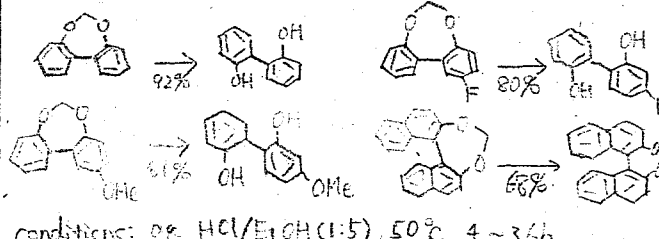


<Scope>



conditions: K_2CO_3 (3%), 1,10-phenanthroline (40 mol%), pyridine, microwave at 120°C

<Hydrolysis of selected dibenzo-1,3-dioxepines>



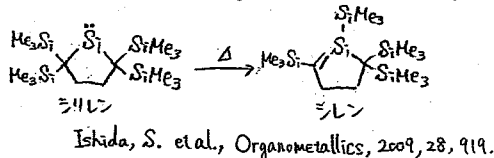
conditions: 0% HCl/EtOH (1:5), 50°C, 4~36h

New Isolable Dialkylsilylene and its Isolable Dimer That Equilibrate in Solution

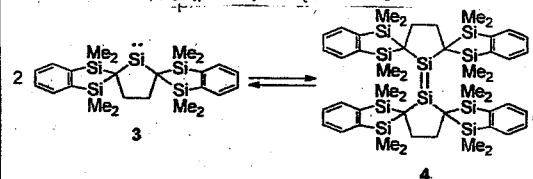
Silylenes (R_2Si)

カルベンへ類縁体。
様々な反応性が期待できる。

しかし、安定性と共に合成が難しい。
※無置換シレンの単離は過去一例のみ



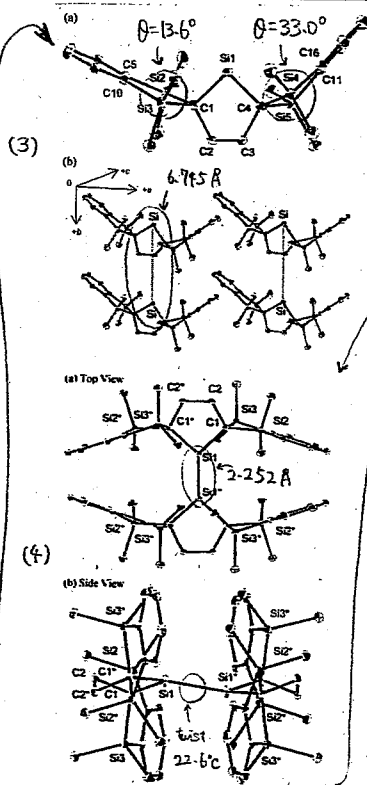
今回、新に無置換シレンの単離を達成



溶液状態で dimer (4) と平衡

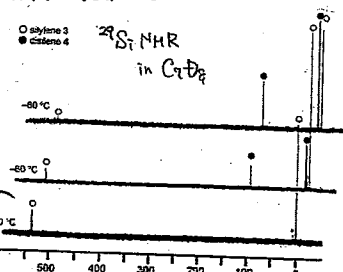
monomer (3) を再結晶 (Hex, -30°C)

monomer (3): yellow crystal
dimer (4): orange-red crystal (微量)

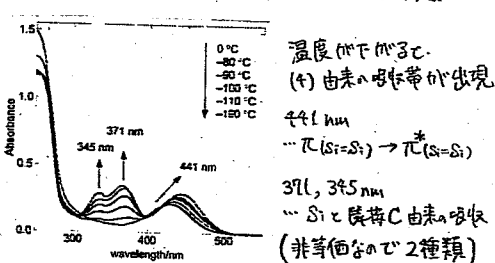


← Si (同一面は比較高いため、結晶構造は face to face にはならない)

Si1 = Si1* はねじれているので、
Si1 の両隣 C は等価ではない。

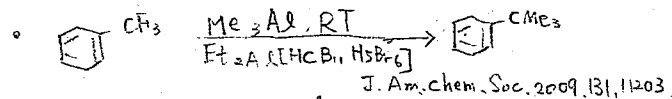
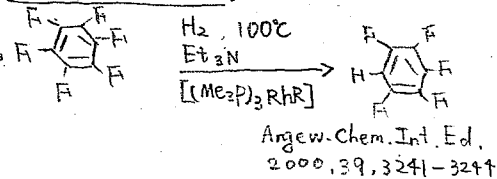


熱力学的 (17+9) ($\ln K_{eq} = -\frac{\Delta H}{R} \frac{1}{T} + \frac{\Delta S}{R}$)
 $\Delta H = -36 \pm 3 \text{ kJ mol}^{-1}$, $\Delta S = -170 \pm 15 \text{ J mol}^{-1} K^{-1}$

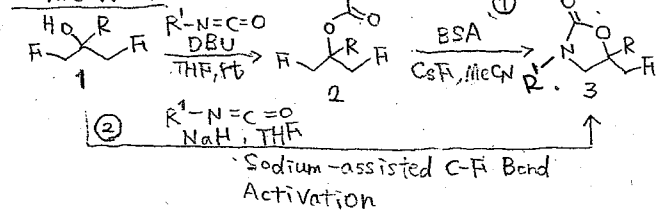


C-F Bond Activation of Unactivated Aliphatic Fluorides: Synthesis of Fluoromethyl-3,5-diaryl-2-oxazolidinones by Desymmetrization of 2-Aryl-1,3-difluoropropan-2-ols

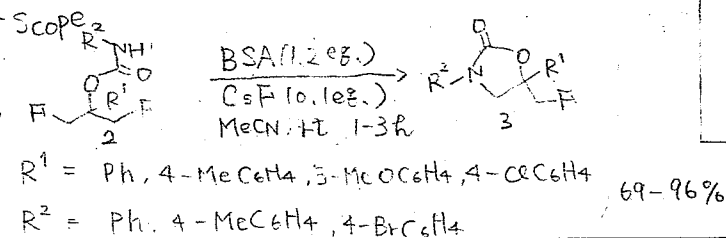
Previous Work



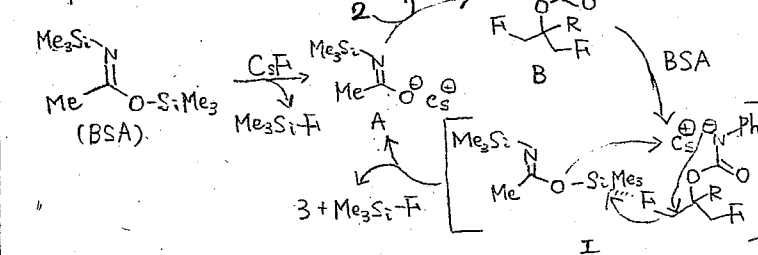
This Work



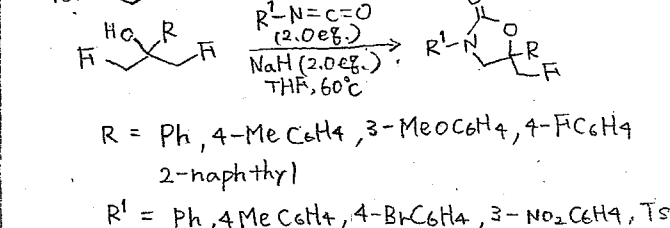
Path ① (2 → 3)



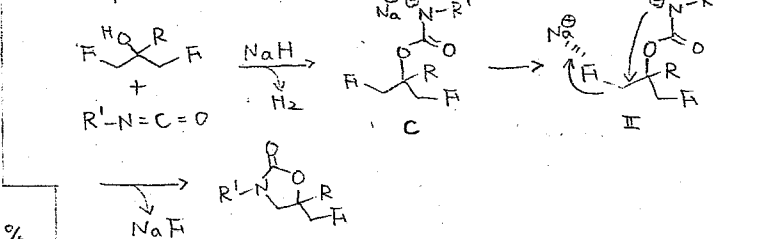
Proposed Mechanism



Path ②



Proposed tandem route



Copper-Promoted Trifluoromethylation of Primary and Secondary Alkylboronic Acids

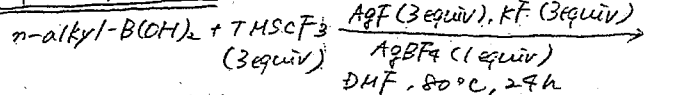
Trifluoromethylation

- Transition-metal-catalyzed (Pd, Cu)
- sp², sp-carbon
- allylic sp³-carbon (recent studies)

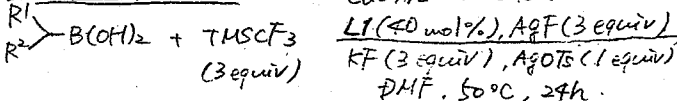
This Work

nonactivated sp³-hybridized carbon

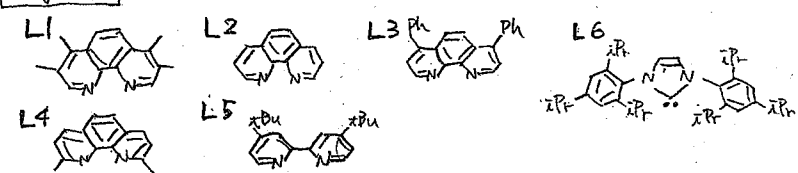
primary alkyl



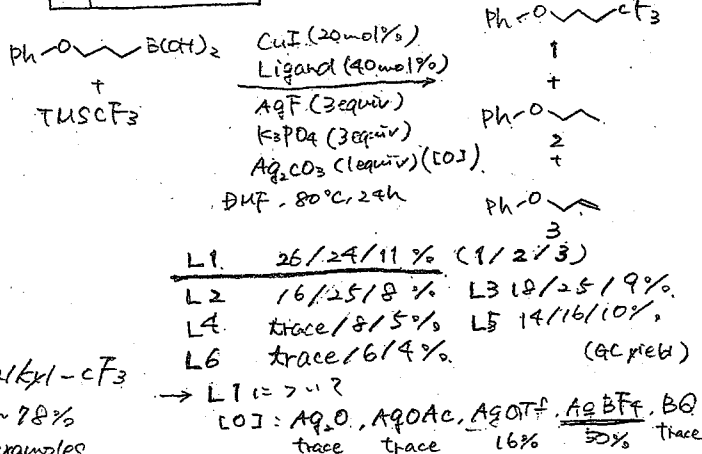
secondary alkyl



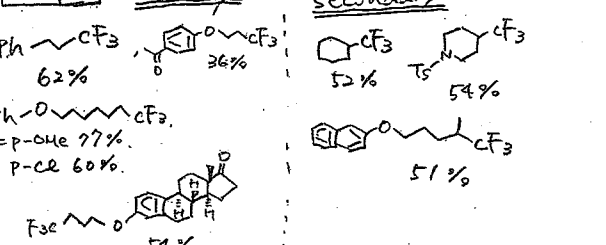
Ligand



Optimization



Scope



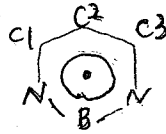
Synthesis and Characterization of B-Heterocyclic π -Radical

and Its Reactivity as a Polyradical

・π-ラジカル中心のラジカル5電子の不対定

・π-ラジカル塩基の電子付/安定化ILU₃

ex) $N=C-BR_2$ $RC_2H_4N-BH_2$



<DFT計算>



HOMO



SOMO



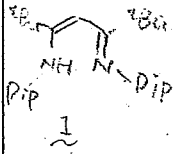
LUMO+1



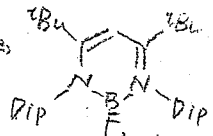
LUMO+4

・SOMOにC-Nに
π結合性
・HOMOにN-Bに
π結合性
・HOMO SOMOに
C1-C2-C3に
π結合性
・C1-C3にπ結合性
π結合性

<This work>



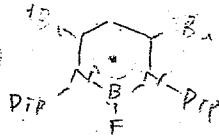
1) K⁺
2) BF₃·OEt₂
THF, rt



2 (40%)

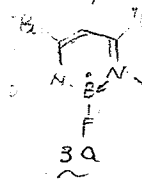
・C₂ (1H NMR)
・smg (et signal)
(F NMR)
・sp³-B (B NMR)
・π-ラジカル中心のラジカル

KC₈ (5e⁻)
Toluene
-35°C

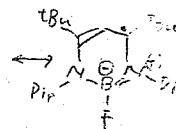


3 (82%)

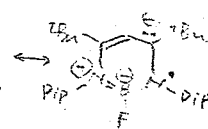
・sp³-B (X-ray)
・C-N π結合性
(電子付/安定化ILU₃)
・ESR信号は
計算値に一致



3a

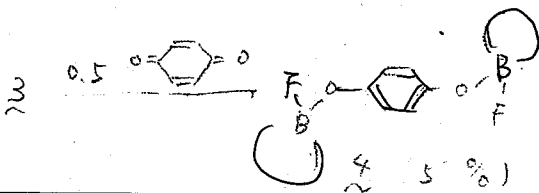


3b

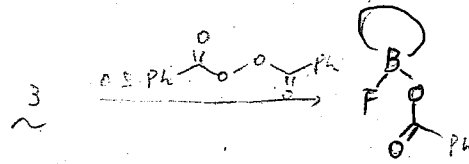


3c

・2つのLUMOにB中心と大分子軌道相互作用



4 (5%)



5

Bはπ-ラジカル中心のラジカル
安定化ILU₃
TBU DIPの立体障害
3aのラジカル種は5e⁻
ラジカル進行